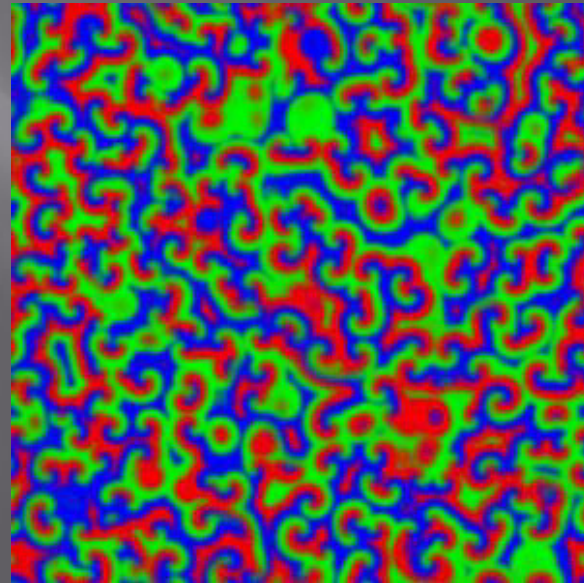


ETUDE ET MODÉLISATION DU TRANSPORT DANS UNE RÉACTION OSCILLANTE.



Plan:

I-Réaction oscillante:

- Caractéristiques.

- Exemples.

II-La réaction BZ:

- 1-Equations cinétiques.

- 2-Système différentiel et modèle retenue.

- 3-Résolution numérique et simulation.

- 4-Etude de stabilité.

III-Modèle de Lotka Volterra:

IV-Conclusion:

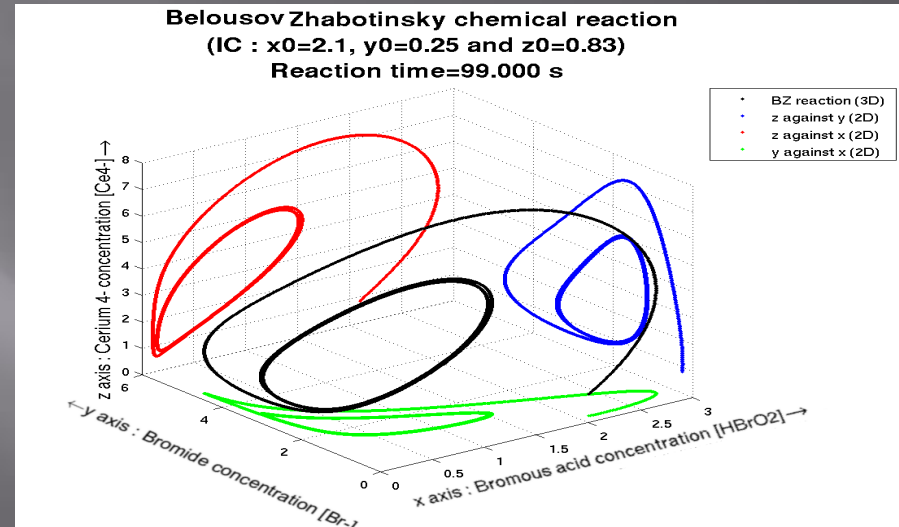
I-Réaction oscillante

Caractéristiques:

- Variation alternative des concentrations.
- système hors équilibre.
- une phase d'oxydation et une phase de réduction s'alternent.

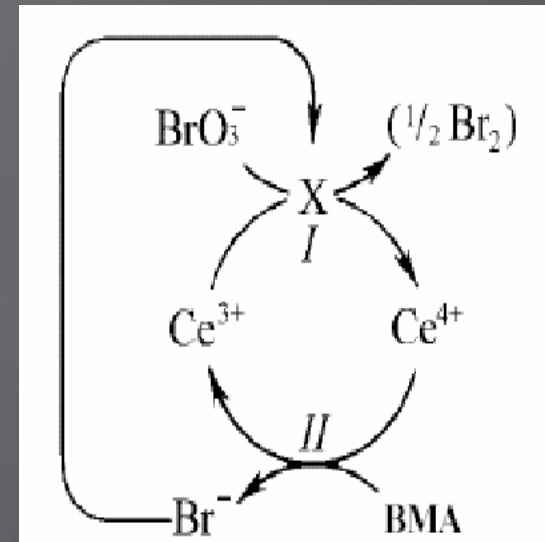
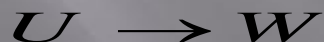
Exemples:

- La réaction BZ
- la réaction de Briggs-Rauscher.
- la réaction de Bray-Liebhafsky



II-La Réaction de Belousov-Zhabotinsky

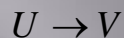
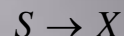
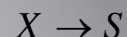
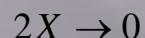
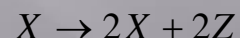
1-Mécanisme FKN complet



composé	Br ₂ (aq)	Br ₂ (octane)	HBrO	HBrO ₂	Br ⁻	Fe ³⁺
notation	W	U	P	X	Y	Z

Ces équations conduisent à un système différentiel très compliqué .

Mécanisme FKN simplifié:



Modèle simplifié qui permet de décrire la réaction BZ par un nombre réduit d'équations différentielles



notation	composé
S	Br ₂ O ₄
V	Br ₂

h: coefficient
stoechiométrique

Les équation cinétiques:

$$\frac{d[x]}{dt} = k_1[y] - k_2[x][y] + k_3[x] - k_4[x]^2 - k_6[x] + k_7[s]$$

$$\frac{d[y]}{dt} = -k_1[y] - k_2[x][y] + k_5h[z]$$

$$\frac{d[z]}{dt} = 2k_3[x] - k_5[z] - k_8[z] + k_{11}[v]$$

$$\frac{d[s]}{dt} = k_6[x] - k_7[s] + k_{12}[u]$$

$$\frac{d[u]}{dt} = k_9[v] - k_{10}[u] - k_{12}[u]$$

$$\frac{d[v]}{dt} = k_8[z] - k_9[v] + k_{10}[u] - k_{11}[v]$$

Les équations cinétiques

$$\frac{d[x]}{dt} = k_1[y] - k_2[x][y] + k_3[x] - k_4[x]^2 - k_6[x] + k_7[s]$$

$$\frac{d[y]}{dt} = -k_1[y] - k_2[x][y] + k_5h[z]$$

$$\frac{d[z]}{dt} = 2k_3[x] - k_5[z] - k_8[z] + k_{11}[v]$$

$$\frac{d[s]}{dt} = k_6[x] - k_7[s] + k_{12}[u]$$

$$\frac{d[u]}{dt} = k_9[v] - k_{10}[u] - k_{12}[u]$$

$$\frac{d[v]}{dt} = k_8[z] - k_9[v] + k_{10}[u] - k_{11}[v]$$

$$\frac{d\xi}{dt} = \frac{1}{\nu_i} \frac{dn_i}{dt} ; \quad v = \frac{1}{\nu_i} \frac{d\left(\frac{n_i}{V}\right)}{dt} \quad . \text{ Soit en pratique :}$$

$$\forall A_i : v = \frac{1}{\nu_i} \frac{d[A_i]}{dt} .$$

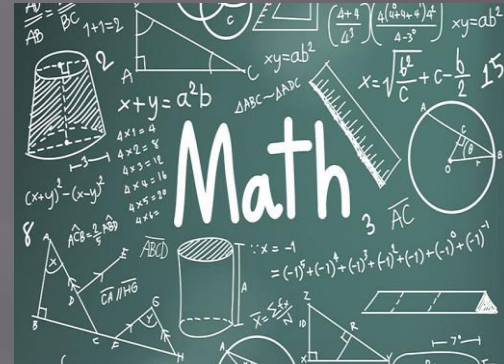
$$[x] = \frac{k_3}{2k_4} \quad [y] = \frac{k_3 y}{k_2} \quad [z] = \frac{k_3^2 z}{k_4 k_5}$$

$$[s] = \frac{k_3^2 s}{2k_4 k_7} \quad [v] = \frac{k_3^2 v}{k_4 k_{11}} \quad [u] = \frac{k_3^2 u}{2k_4 k_{10}}$$

$$t = \frac{\tau}{k_5}$$

Introduction des
variables
adimensionnés

2-Système différentiel et modèle retenu.



$$\varepsilon \frac{dx}{d\tau} = qy - yx + x - x^2 - \beta x + s$$

$$\varepsilon' \frac{dy}{d\tau} = -qy - yx = fz = 0$$

$$\frac{dz}{d\tau} = x - z - \alpha'z + v$$

$$\varepsilon_2 \frac{ds}{d\tau} = \beta x - s + \chi u$$

$$\varepsilon_3 \frac{du}{d\tau} = Kv - \frac{u}{2} - \frac{\chi u}{2}$$

$$\varepsilon_4 \frac{dv}{d\tau} = \alpha'z - Kv + \frac{u}{2} - v = 0$$

$$f = 2h \quad \beta = \frac{k_6}{k_3} \quad \varepsilon = \frac{k_5}{k_3} \quad \chi = \frac{k_{12}}{k_{10}}$$

$$K = \frac{k_9}{k_{11}} \quad \alpha' = \frac{k_8}{k_5} \quad q = \frac{2k_4k_1}{k_3k_2} \quad \varepsilon_2 = \frac{k_5}{k_6}$$

$$\gamma = \frac{1}{2(1+K)} \quad \alpha = \frac{\alpha'K}{1+K} \quad \varepsilon_3 = \frac{k_5}{2k_{10}} \ll 1$$

$$\varepsilon' = \frac{2k_4k_5}{k_3k_2} \ll 1 \quad \varepsilon_4 = \frac{k_5}{k_{11}} \ll 1$$

En tenant compte
des conditions:

$$y = \frac{fz}{q+x} \quad v = \frac{\alpha'z + u/2}{1+K} \quad \varepsilon' \ll 1 \quad \varepsilon_4 \ll 1$$

Et en ajoutant les termes de diffusion ,
on obtient le système suivant:

$$\frac{\partial x}{\partial \tau} = \frac{1}{\varepsilon} \left(\frac{fz(q-x)}{q+x} + x - x^2 - \beta x + s \right) + \frac{D_x}{D_u} \Delta x$$

$$\frac{\partial z}{\partial \tau} = x - z - \alpha z + \gamma u + \frac{D_z}{D_u} \Delta z$$

$$\frac{\partial s}{\partial \tau} = \frac{1}{\varepsilon_2} (\beta x - s + \chi u) + \frac{D_s}{D_u} \Delta s$$

$$\frac{\partial u}{\partial \tau} = \frac{1}{\varepsilon_3} \left(\alpha z - \left(\gamma + \frac{\chi}{2} \right) u \right) + \frac{D_u}{D_u} \Delta u$$

En tenant compte
des conditions:

$$y = \frac{fz}{q+x} \quad v = \frac{\alpha'z + u/2}{1+K} \quad \varepsilon' \ll 1 \quad \varepsilon_4 \ll 1$$

Et en ajoutant les termes de diffusion ,
on obtient le système suivant:

$$\frac{\partial x}{\partial \tau} = \frac{1}{\varepsilon} \left(\frac{fz(q-x)}{q+x} + x - x^2 - \beta x + s \right) + \frac{D_x}{D_u} \Delta x$$

$$\frac{\partial z}{\partial \tau} = x - z - \alpha z + \gamma u + \frac{D_z}{D_u} \Delta z$$

$$\frac{\partial s}{\partial \tau} = \frac{1}{\varepsilon_2} (\beta x - s + \chi u) + \frac{D_s}{D_u} \Delta s$$

$$\frac{\partial u}{\partial \tau} = \frac{1}{\varepsilon_3} \left(\alpha z - \left(\gamma + \frac{\chi}{2} \right) u \right) + \frac{D_u}{D_u} \Delta u$$

La dernière équation peut se simplifier
pour : $\chi \ll \gamma$

$$\frac{\partial u}{\partial t} = \frac{1}{\varepsilon_3} (\alpha z - \gamma u) + \Delta u$$

Δ :est le Laplacien

D :coefficient de diffusion

$$D_x = D_z = 10^{-7} \text{cm}^2/\text{s}$$

$$D_s = D_u = 10^{-5} \text{cm}^2/\text{s}$$

Résolution numérique:

Discrétisation:

Développement de Taylor d'ordre 1 :

$$\frac{\partial X}{\partial t} = \frac{X_{i,j}^{k+1} - X_{i,j}^k}{\Delta t}$$

$$\frac{\partial X^k}{\partial x} = \frac{X_{i+1,j}^k - X_{i,j}^k}{\Delta x}$$

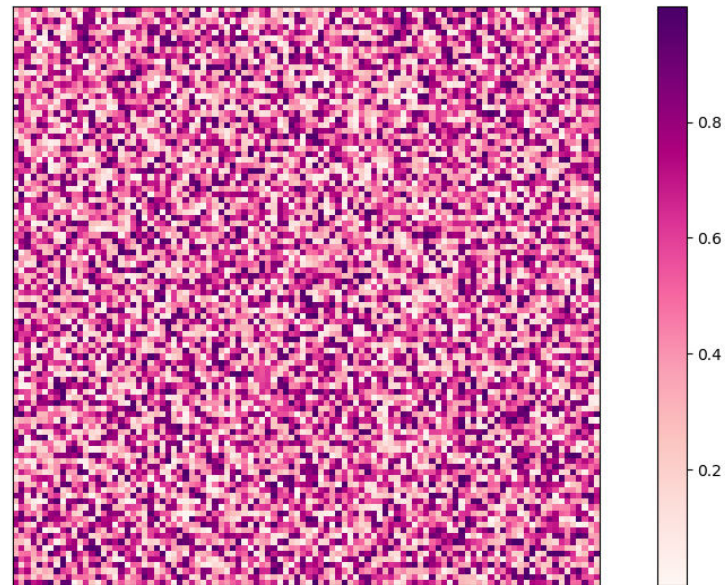
Méthode de Lip Frog:

$$\frac{\partial^2 X^k}{\partial x^2} = \frac{X_{i+1,j}^k + X_{i-1,j}^k - X_{i,j}^k}{(\Delta x)^2}$$

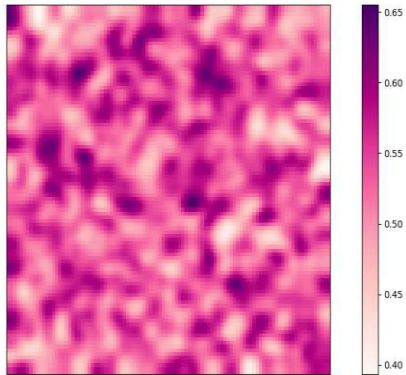
$$\frac{\partial^2 X^k}{\partial y^2} = \frac{X_{i,j+1}^k + X_{i,j-1}^k - X_{i,j}^k}{(\Delta y)^2}$$

$$X(x_i, y_j, t_{k+1}) = X(x_i, y_j, t_k) + \Delta t \frac{\partial X(x_i, y_j, t_k)}{\partial t}$$

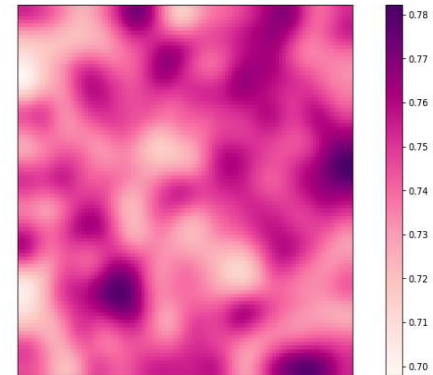
Grille aléatoire initiale représentant X
à l'état initial dans le plan (x,y)



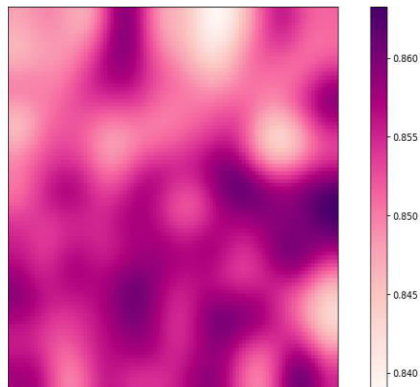
Après 1000 itérations : à $t=1000dt$



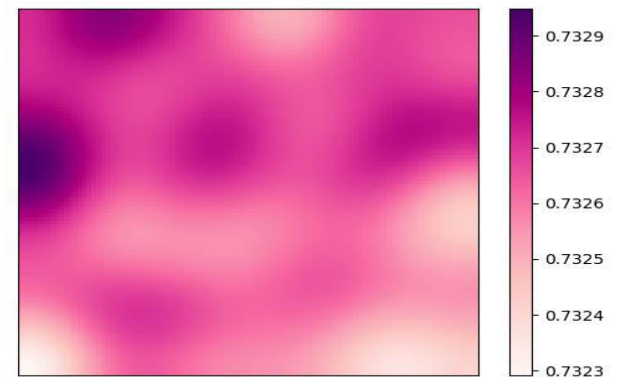
Après 5000 itérations



Après 10000 itérations



Après 30000 itérations



III-Modèle de Lotka Volterra:

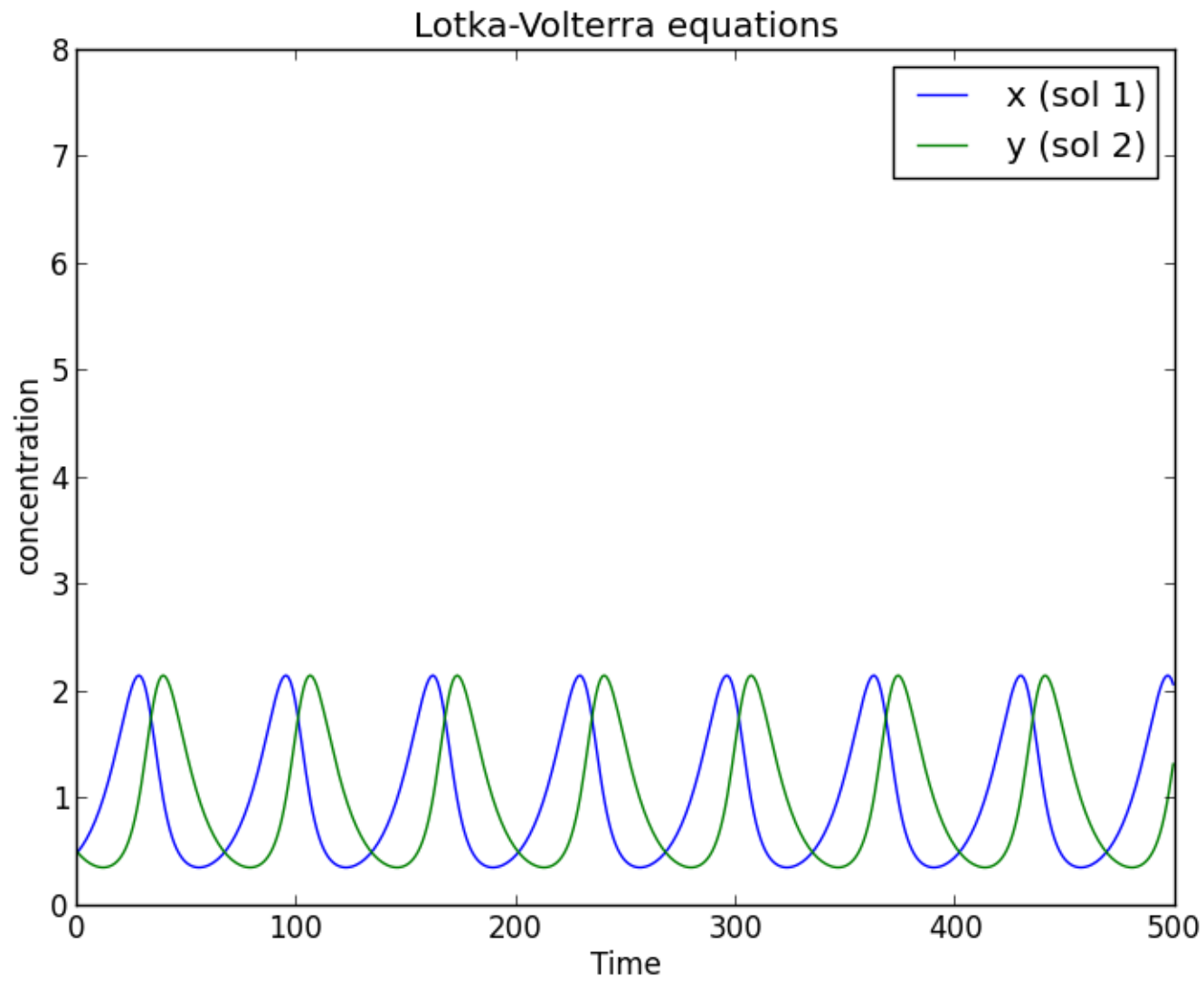
Système différentiel couplé non linéaire .

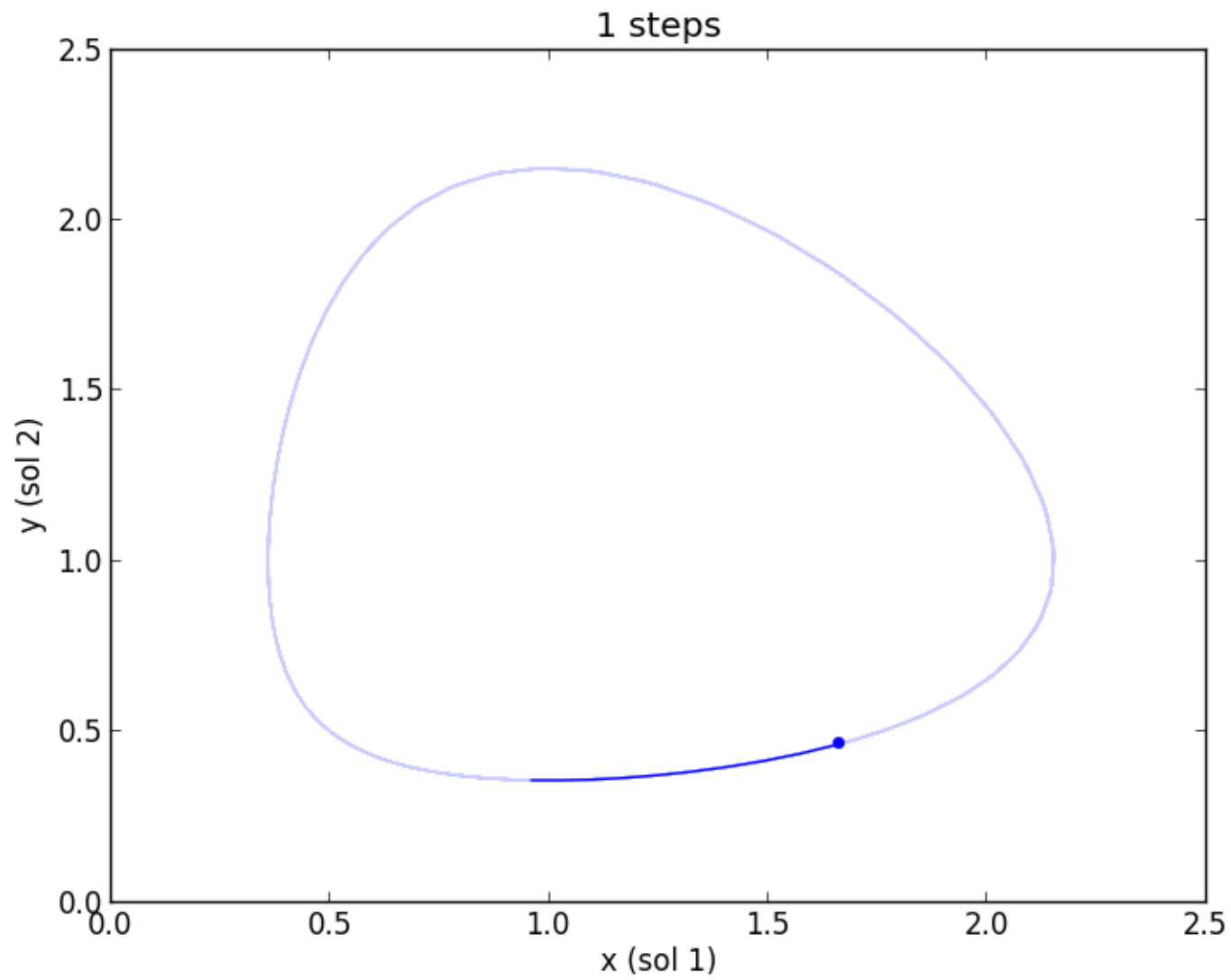
$$\begin{aligned}x' &= x(\alpha - \beta y) \\ y' &= -y(\gamma - \sigma x)\end{aligned}$$

x : concentration solution 1.
y : concentration solution 2.

$(\alpha, \beta, \gamma, \sigma):$

Des paramètres caractérisant les différentes solutions.





IV-Conclusion :

La modélisation de l'équation de Belousov-Zhabotinski a conduit à un système différentiel assez compliqué que l'on a essayé de simplifier pour pouvoir mettre en évidence le caractère Oscillant de cette réaction par une résolution numérique.

Annexe

Code 1:

////

Crée Janvier 2019

par: Dy El Alem

////

```
Import numpy as np
import matplotlib.pyplot as plt
```

```
alpha = 12
```

```
beta = 0.1
```

```
gama = 0.1
```

```
xi = 0
```

```
eps=0.5
```

```
eps2= 1
```

```
eps3= 0.01
```

```
q=0.002
```

```
f=1.4
```

```
Dx=Dz=10**-7
```

```
Ds=Du=10**-5
```

```
taille = 100 # taille de la grille
```

```
dx = 2./taille # pas
```

```
T = 10.0 # temps total
```

```
dt = 0.45 * dx**2/2 # pas de discrétisation
```

```
n = int(T/dt)
```

```
X = np.random.rand(taille, taille)
```

```
Z = np.random.rand(taille, taille)
```

```
U = np.random.rand(taille ,taille)
```

```
S = np.random.rand(taille, taille)
```

```
def laplacien(Z):
```

```
    Zhaut = Z[0:-2,1:-1]
```

```
    Zgauche = Z[1:-1,0:-2]
```

```
    Zbas = Z[2:,1:-1]
```

```
    Zdroite = Z[1:-1,2:]
```

```
    Zcentre = Z[1:-1,1:-1]
```

```
    return (Zhaut + Zgauche + Zbas + Zdroite - 4 * Zcentre) / dx**2
```

```
for i in range(n):
```

```
    deltaX = laplacien(X)
```

```
    deltaZ = laplacien(Z)
```

```
    deltaU = laplacien(U)
```

```
    deltaS = laplacien(S)
```

on prend les valeurs à l'intérieur des grilles.

$X_c = X[1:-1, 1:-1]$

$Z_c = Z[1:-1, 1:-1]$

$U_c = U[1:-1, 1:-1]$

$S_c = S[1:-1, 1:-1]$

on modifie les variables.

$X[1:-1, 1:-1] = X_c + dt * ((f * Z_c * (q - X_c) / (q + X_c) + (1 - \beta) * X_c - X_c^2 + S_c) / \epsilon + (D_x / D_u) * \delta X)$

$Z[1:-1, 1:-1] = Z_c + dt * ((D_z / D_u) * \delta Z + X_c - (1 + \alpha) * Z_c + \gamma * U_c)$

$S[1:-1, 1:-1] = S_c + dt * ((\beta * X_c + \xi * U_c) / \epsilon_2 + (D_s / D_u) * \delta S)$

$U[1:-1, 1:-1] = U_c + dt * ((\alpha * Z_c - \gamma * U_c) / \epsilon_3 + \delta U)$

for W in (X, Z, U, S):

$W[0, :] = W[1, :]$

$W[-1, :] = W[-2, :]$

$W[:, 0] = W[:, 1]$

$W[:, -1] = W[:, -2]$

if i >= 30000:

break

plt.imshow(X, cmap=plt.cm.RdPu, extent=[-1, 1, -1, 1]);

plt.colorbar()

plt.xticks([]); plt.yticks

Code 2 :

```
from scipy.integrate import odeint
from numpy import *
from matplotlib.pyplot import *
```

```
def LotkaVolterra(état,t):
```

```
    x = état[0]
```

```
    y = état[1]
```

```
    alpha = 0.1
```

```
    beta = 0.1
```

```
    sigma = 0.1
```

```
    gamma = 0.1
```

```
    xd = x*(alpha - beta*y)
```

```
    yd = -y*(gamma - sigma*x)
```

```
    return [xd,yd]
```

```
t = arange(0,500,1)
```

```
état0 = [0.5,0.5]
```

```
état = odeint(LotkaVolterra,état0,t)
```

```
figure()
```

```
plot(t,état)
```

```
ylim([0,8])
```

```
xlabel('Temps')
```

```
ylabel('concentration')
```

```
legend(('x (sol1)','y (sol2)'))
```

```
title(' équations Lotka-Volterra ')
```

```
Show()
```

animation

```
figure()
pb, = plot(état[:,0],état[:,1],'b-',alpha=0.2)
xlabel('x (sol1)')
ylabel('y ( sol2)')
p, = plot(état[0:10,0],état[0:10,1],'b-')
pp, = plot(état[10,0],state[10,1],'b.',markersize=10)
tt = title("%4.2f sec" % 0.00)
```

step=2

```
for i in range(1,shape(état)[0]-10,step):
    p.set_xdata(état[10+i:20+i,0])
    p.set_ydata(état[10+i:20+i,1])
    pp.set_xdata(état[19+i,0])
    pp.set_ydata(état[19+i,1])
    tt.set_text("%d steps" % (i))
    show()
```